

01

## Моделирование системы определения движения технологической платформы по данным позиционирования ГЛОНАСС и измерениям ньютонометров

© А.С. Девятисильный, А.В. Шурыгин

Институт автоматизации и процессов управления ДВО РАН, Владивосток, Россия  
E-mail: devyatys@dvvo.ru

Поступило в Редакцию 6 мая 2019 г.

В окончательной редакции 6 мая 2019 г.

Принято к публикации 7 июня 2019 г.

Представлены модели реконструкции линейных и угловых параметров движения для бортовых встраиваемых систем ГЛОНАСС с двухпозиционным приемом данных и трехкомпонентным блоком ньютонометров в качестве измерителей удельных сил негравитационной природы. Существенным элементом конструкции математической модели является разработанная устойчивая процедура многократного численного дифференцирования, не зависящая от величины шага дискретизации задачи в условиях ограниченной точности вычислений и измерений. Приведены результаты численного эксперимента, верифицирующего исходные физические и математические представления для случая гиперзвукового движения.

**Ключевые слова:** ньютонометр, ГЛОНАСС, пульсар, гиперзвуковая скорость.

DOI: 10.21883/PJTF.2019.18.48231.17867

В настоящей работе рассмотрен вариант генерации системы определения движения (СОД) в случае, когда ее информационная база представлена измерениями вектора удельных сил негравитационной природы, или кажущегося ускорения [1], полученными с помощью ньютонометров [2], и темпоральными данными о координатах места подвижного объекта, доставляемыми навигационной спутниковой системой (НСС) типа ГЛОНАСС/GPS. Область применения таких СОД — численно-аналитическое планирование, бортовое определение параметров движения и управление подвижными технологическими платформами (ТП) различного назначения и базирования (наземного, воздушного, космического).

Под „определением движения“ здесь понимается решение двух задач: во-первых, определение кинематических параметров траектории (траекторная задача) и, во-вторых, определение параметров ориентации ТП в пространстве (задача ориентации).

Предлагаемая СОД отличается от известных интегрированных инерциально-спутниковых систем [3–5] отсутствием в ней гироскопических измерителей абсолютной угловой скорости вращения ТП и методологией математического моделирования и решения обеих задач.

Учитывая форму геоида, в качестве его признанной опорной модели примем эллипсоид вращения (эллипсоид Клеро) [2,3]. В соответствии с этим и с учетом стандартов ПЗ-90 (Россия) и WGS-89 (США) известным образом введем эллипсоидальную (геодезическую) систему отсчета с координатами  $\{\varphi, \lambda, h\}$  — геодезические широта, долгота и высота над поверхностью эллипсоида.

В точке  $O$ , принадлежащей траектории и отождествляемой с подвижной ТП, разместим начало правого пра-

моугольного координатного трехгранника  $Ox = Ox_1x_2x_3$  с осью  $Ox_3$ , направленной по нормали к поверхности эллипсоида, и осями  $Ox_1$  и  $Ox_2$ , ориентированными на географические Восток и Север соответственно.

Обратимся теперь к кинематике, или к „геометрии движения“ [1], точки  $O$  и обозначим через  $\mathbf{v} = (v_1, v_2, v_3)^T$  вектор ее линейной скорости движения относительно твердой Земли, а через  $\boldsymbol{\omega} = (\omega_1, \omega_2, \omega_3)^T$  — вектор угловой скорости вращения трехгранника  $Ox$ , обусловленной криволинейностью траектории. Оба вектора рассматриваются в проекциях на оси  $Ox$ . Между координатами  $\{\varphi, \lambda, h\}$  и скоростями достаточно просто установить следующие соотношения:

$$\begin{aligned} \omega_1 &= -\dot{\varphi}, & \omega_2 &= \dot{\lambda} \cos \varphi, \\ \omega_3 &= \dot{\lambda} \sin \varphi, & \dot{\varphi} &= \frac{v_2}{r_2}, & \dot{\lambda} &= \frac{v_1}{r_1 \cos \varphi}, & v_3 &= \dot{h}, \end{aligned} \quad (1)$$

где

$$\begin{aligned} r_1 &= a/(1 - e^2 \sin^2 \varphi)^{1/2} + h, \\ r_2 &= a(1 - e^2)/(1 - e^2 \sin^2 \varphi)^{3/2} + h \end{aligned}$$

— радиусы кривизны двух взаимно перпендикулярных главных нормалей сечений поверхности  $h = \text{const}$ , проходящих через оси  $Ox_1$  (сечение, касательное к параллели) и  $Ox_2$  (меридиональное сечение);  $a$  и  $e$  — значения большой полуоси и эксцентриситета используемой модели земного эллипсоида;  $r_\psi = (r_1^{-1} \sin^2 \psi + r_2^{-1} \cos^2 \psi)^{-1}$  — радиус кривизны нормального сечения эллипсоида при  $h = \text{const}$  в точке  $O$ , проходящего через вектор-проекцию  $\mathbf{v}_p$  вектора  $\mathbf{v}$  на плоскость  $Oy_1y_2$  [2];  $\psi$  — путевой угол движения, отсчитываемый по ходу часовой стрелки от оси  $Oy_2$  к оси  $Oy_1$ , так что  $v_1 = v_p \sin \psi$ ,  $v_2 = v_p \cos \psi$ ,  $v_p = |\mathbf{v}_p|$ .

Под решением траекторной задачи далее понимается решение задачи оценки значений и их производных до порядка  $n - 1$  параметров  $\varphi$ ,  $\lambda$ ,  $h$ ,  $r_1$ ,  $r_2$ ,  $r_\psi$ ,  $v_1$ ,  $v_2$ ,  $v_3$  и т.д. При этом математическая модель такой общей задачи рассматривается как совокупность моделей частных обратных задач вида „состояния–измерения“ порядка  $n$ , где каждая из частных моделей ассоциируется с некоторой функцией времени  $\eta(t)$ , аппроксимируемой моделью „состояний“ вида  $\eta(t) = \eta_1$ ,  $\dot{\eta}_1 = \dot{\eta}_2 = \dots = \dot{\eta}_n = 0$ , по ее темпорально измеряемым с инструментальными погрешностями значениям  $\eta(t_k)$ ,  $k = 0, 1, 2, \dots$ ;  $t_{k+1} = t_k + \tau$ ,  $\tau = \text{const}$ . Как видно, каждая частная модель „состояний“ — это система линейных дифференциальных уравнений первого порядка с простейшей одноклеточной жордановой (с нулевыми диагональными элементами) матрицей [6] в качестве матрицы связи, имеющей индекс нильпотентности, равный  $n$ . Естественное обращение к такой модели существенно упростило дискретизацию задачи по времени и реализацию нейросетевого алгоритма динамического псевдообращения [7,8] калмановского типа с ядерным механизмом настройки [8] на фоне преодоления проблемы разрешимости задачи при больших значениях  $n$  и малых  $\tau$  в условиях конечной точности вычислений и измерений [9].

Полагая далее, что траекторная задача решена [9], обратимся к динамике теперь уже материализованной точки  $O$ , т.е. к уравнениям Ньютона, которые с учетом вращения Земли с угловой скоростью  $\mathbf{u} = (u_1, u_2, u_3)^T$  в осях трехгранника  $Ox$  представимы в следующем виде:

$$D_{ij}V_j = g_i + f_j, \quad V_j(0) = V_{0,i}, \quad (2)$$

где  $D_{ij} = \delta_{ij}d/dt + e_{ikj}(\omega_k + u_k)$  — оператор абсолютной производной;  $\delta_{ij}$  — символ Кронекера;  $e_{ikj}$  — символ Леви-Чивита ( $i, k, j = 1, 2, 3$ ; по повторяющимся индексам производится суммирование);  $u_1 = 0$ ,  $u_2 = u \cos \varphi$ ,  $u_3 = u \sin \varphi$ ;  $\mathbf{V} = (V_1, V_2, V_3)^T$  — вектор абсолютной скорости, причем  $V_1 = v_1 + u_2 r_1$ ,  $V_2 = v_2$ ,  $V_3 = v_3$ ;  $\mathbf{f} = (f_1, f_2, f_3)^T$  — вектор кажущегося ускорения;  $\mathbf{g} = (g_1, g_2, g_3)^T$  — напряженность гравитационного поля Земли, известного с достаточной точностью.

Разрешая уравнение (2) относительно  $\mathbf{f}$  покомпонентно и принимая во внимание (1), получаем

$$\begin{aligned} f_1 &= \dot{v}_1 + \frac{v_1}{r_1}(v_3 - v_2 \operatorname{tg} \varphi) - v_2 u_3 \left( \frac{r_1}{r_2} + 1 \right) \\ &\quad + v_3 u_2 + u_2 \dot{r}_1 - g_1, \\ f_2 &= \dot{v}_2 + \frac{v_2^2}{r_1} \operatorname{tg} \varphi + \frac{v_2 u_3}{r_2} + 2v_1 u_3 + u_2 u_3 r_1 - g_2, \\ f_3 &= \dot{v}_3 - \frac{v_1^2}{r_1} + \frac{v_2^2}{r_2} - 2v_1 u_2 - u_2^2 r_1 - g_3. \end{aligned} \quad (3)$$

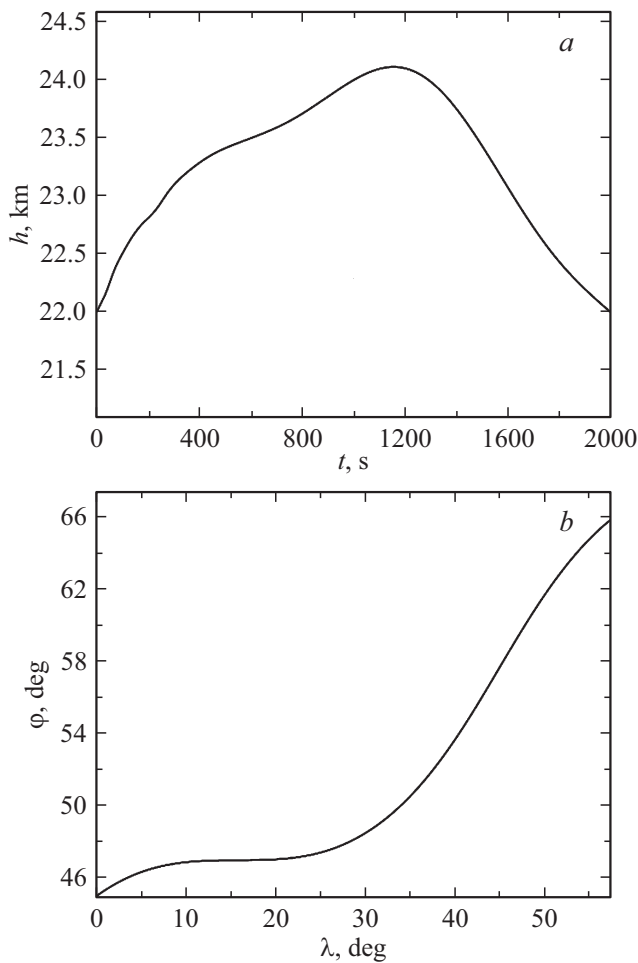
С учетом того, что все значения переменных в правой части (3) известны благодаря интерпретации данных спутникового позиционирования ТП, т.е. в результате

решения траекторной задачи, вектор  $\mathbf{f}$  также может быть вычислен. Таким образом, устанавливается и каузальность траектории.

Введем жестко связанный с подвижной ТП правый координатный трехгранник, в осях которого могут производиться векторные измерения, — приборный трехгранник  $Oy = Oy_1Oy_2Oy_3$ , в идеале совпадающий с трехгранником  $Ox$ , но реально связанный с ним матрицей ориентации  $\mathbf{A} = (a_{ij})$  ( $i, j = 1, 2, 3$ ), так что  $y_i = a_{ij}x_j$  и  $x_j = a_{ji}y_i$ . Суть задачи определения ориентации ТП в физическом пространстве состоит в оценке матрицы  $\mathbf{A}$  или значений трех углов последовательного вращения трехгранника  $Oy$  из состояния  $Oy \equiv Ox$  в текущее состояние. Учитывая, что под ТП здесь понимается объект искусственного происхождения, целесообразно считать, что оси трехгранника  $Oy$  совпадают со строительными осями ТП, и ввести углы Эйлера–Крылова — углы курса ( $\alpha$ ), крена ( $\beta$ ) и тангажа ( $\theta$ ), соответствующие парциальным вращениям относительно осей  $Oy_3$ ,  $Oy_2$ ,  $Oy_1$ .

Для определения значений девяти элементов (направляющих косинусов) матрицы  $\mathbf{A}$  (или трех углов Эйлера–Крылова), вообще говоря, достаточно найти систему двух неколлинеарных векторов, известных своими проекциями как в  $Ox$ , так и в  $Oy$ . В качестве двух таких векторов могут быть взяты орты известных звезд, пульсаров или иных объектов. Корректность решения проблемы в таком случае обуславливается возможностью пополнения системы двух векторов третьим, образуемым векторным произведением известных двух, и, таким образом, линейной независимостью этих трех векторов. В предельном случае, когда наблюдению в  $Ox$  и  $Oy$  доступен только один вектор, определить ориентацию  $Oy$  относительно  $Ox$  можно только с точностью до поворота  $Oy$  относительно  $Ox$  вокруг единственного вектора как оси.

Возможность вычисления  $\mathbf{f}$ , демонстрируемая системой уравнений (3), обращает внимание на методологически другую возможность — непосредственное измерение проекций  $\mathbf{f}$  в трехграннике  $Oy$  с помощью тройки линейных ньютонометров; таким образом решается проблема выбора первого из двух требуемых векторов. Однако существенно отметить, что, оставаясь в рамках анонсируемой в настоящей работе задачи комплексирования измерений геодезических координат места объекта с помощью НСС и измерений ньютонометров, также можно строго решить проблему и второго вектора, но только в случае двухпозиционного (и более) бортового приема данных НСС. Вместе с тем, как показывают вычислительные эксперименты, и при однопозиционном приеме возможны вполне допустимые приближенные оценки углов, если отождествлять угол  $\alpha$  с путевым углом  $\psi$  в рамках псевдоизмерения  $\alpha = -\psi + \delta\alpha$ , когда  $\delta\alpha$  выступает в качестве небольшой по величине методологической погрешности, обусловленной взаимодействием подвижной ТП с внешней средой. В таком случае методом последовательных приближений достаточно просто и в пределах шага дискретизации  $\tau$  решается система



**Рис. 1.** Элементы траектории движения: высота (а), широта и долгота (b).

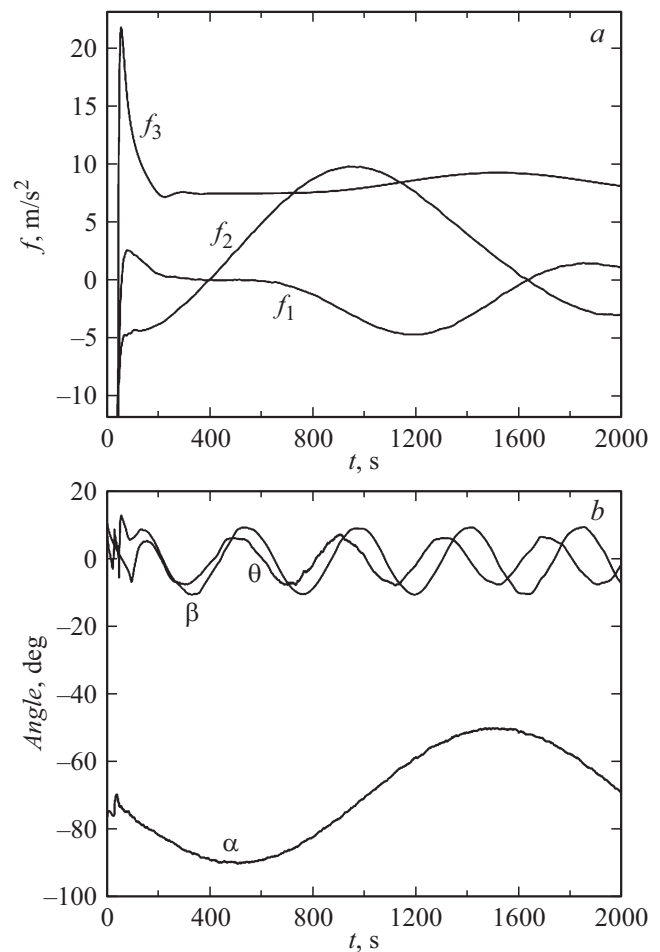
уравнений  $\mathbf{f}_y = \mathbf{A}\mathbf{f}$ , где  $\mathbf{f}_y$  — вектор силы  $\mathbf{f}$ , измеряемой ньютонометрами, т.е. задача точечного оценивания углов  $\beta$  и  $\theta$ . Здесь же, в пределах этого же шага, оценивается необходимое число производных углов  $\alpha$ ,  $\beta$ ,  $\theta$  и таким образом реализуется возможность оценки в трехграннике  $Oy$  вектора угловой скорости собственного вращения  $\mathbf{q} = (q_1, q_2, q_3)^T$ , где  $q_1 = \dot{\theta} + \dot{\alpha} \sin \beta$ ,  $q_2 = \dot{\beta} \cos \theta + \dot{\alpha} \sin \theta \cos \beta$ ,  $q_3 = \dot{\alpha} \cos \theta \sin \beta - \dot{\beta} \sin \theta$ .

Подобным же образом вычисляется и вся тройка углов Эйлера–Крылова, т.е.  $\{\alpha, \beta, \theta\}$ , и дополнительно угол курсового дрейфа  $\delta\alpha = \psi - \alpha$ , если на борту ТП осуществляется двухпозиционный прием спутниковой навигационной информации и решается система уравнений  $\{\mathbf{f}_y = \mathbf{A}\mathbf{f}, \mathbf{l}_y = \mathbf{A}\mathbf{l}\}$ , где  $\mathbf{l}_y$  — технологический (известный) вектор места второго приемника НСС в  $Oy$ , а  $\mathbf{l}$  — этот же вектор в  $Ox$ , вычисляемый по данным его позиционирования НСС. Очевидно, возможен и отказ от исходной декларируемой бортовой системы измерителей и пополнения ее астровизирами известных звезд или пульсаров.

В общем случае, если вектор  $\mathbf{q}$  определен, открывается возможность и для оценки абсолютной угловой

скорости ТП  $\mathbf{p} = (p_1, p_2, p_3)^T$  в проекциях на оси  $Oy$ , а именно  $\mathbf{p} = \mathbf{A}(\boldsymbol{\omega} + \mathbf{u})_x + \mathbf{q}$ , где индекс  $x$  указывает на то, что вектор  $\boldsymbol{\omega} + \mathbf{u}$  представлен своими проекциями в трехграннике  $Ox$ . Таким образом, по сути, реализуется безгироскопный датчик угловых скоростей, что с учетом возможности качественного дифференцирования вектора  $\mathbf{p}$  открывает путь для оценки главного момента сил — вектора  $\mathbf{m}$ , обуславливающего совместно с вектором  $\mathbf{f}$  движение реальной ТП. Действительно,  $m_i = J_{ij}\dot{p}_j + (e_{ikj}p_k)J_{js}p_s$ , где  $\mathbf{J} = (J_{js})$  — известный тензор инерции ТП,  $i, j, k, s = 1, 2, 3$ .

На рис. 1 представлена траектория ТП, движущейся с гиперзвуковой скоростью  $v = 3560$  m/s (12M,  $M_{h=20\text{ km}} \approx 298$  m/s). Данные позиционирования поступают с шагом  $\tau = 0.2$  s, содержат погрешности со среднеквадратическими значениями (СКЗ)  $\sigma_\varphi = \sigma_\lambda = \sigma_h = 1.5$  m и временами корреляции  $\tau_c = 4$  s. На рис. 2, а представлены оценки сил, выполняемые по формулам (3); СКЗ погрешностей оценивания  $\sigma_{f_1} = \sigma_{f_2} = \sigma_{f_3} = 0.006$  m/s<sup>2</sup>. На рис. 2, b представлены оценки углов  $\alpha, \beta, \theta$ ; СКЗ погрешностей оценивания  $\sigma_\alpha = \sigma_\beta = \sigma_\theta = 0.01^\circ$ . При этом погрешности шумов ньютонометров характеризуются СКЗ  $\sigma_{f_1} = \sigma_{f_2} = \sigma_{f_3} = 0.01$  m/s<sup>2</sup> и временами корреля-



**Рис. 2.** Оценки удельных сил (а) и углов Эйлера–Крылова (b).

ции  $\tau_c = 1.5$  s; место второго приемника НСС в  $Oy$ :  $y = (0, 4\text{ м}, 0)^T$ .

Таким образом, как подтверждается результатами численного исследования, предложенная модель безгироскопной гибридной инерциально-спутниковой системы определения движения обладает высокой эффективностью решения как траекторной задачи, так и задачи пространственной ориентации и актуальна для управления высокоскоростными объектами.

### Конфликт интересов

Авторы заявляют, что у них нет конфликта интересов.

### Список литературы

- [1] *Ишлинский А.Ю.* Классическая механика и силы инерции. М.: Едиториал УРСС, 2018. 320 с.
- [2] *Андреев В.Д.* Теория инерциальной навигации. Корректируемые системы. М.: Наука, 1967. 648 с.
- [3] *Перов А.И., Харисов В.Н.* ГЛОНАСС. Принципы построения и функционирования. М.: Радиотехника, 2010. 800 с.
- [4] *Groves P.* Challenges of integrated navigation // Proc. of the 31st Int. Technical Meeting of the satellite division of the institute of navigation. Miami, 2018. P. 3237–3264.
- [5] *Mahboub V., Mohammadi D.* // J. Navigation. 2018. V. 71. N 4. P. 971–988.
- [6] *Хорн Р., Джонсон Ч.* Матричный анализ. М.: Мир, 1989. 656 с.
- [7] *Осипов Ю.С., Кряжемский А.В.* // Вестн. РАН. 2006. Т. 76. № 7. С. 615–624.
- [8] *Девятисильный А.С.* // ЖТФ. 2015. Т. 85. В. 10. С. 5–8.
- [9] *Девятисильный А.С., Шурыгин А.В.* // Геодезия и картография. 2018. Т. 79. В. 1. С. 47–51.